



การศึกษาผลกระทบของการกัดกร่อน ที่เกิดจากผลิตภัณฑ์ฟลูออโรเด็ที่มีต่อค่าเฉลี่ย และสิ่งแวดล้อมหัวร่างแบร์กเกตเหล็กกล้า ไม่เป็นสนิมและลวดคงชนิดต่าง ๆ

พินทุอร จันทราราธิตย์ ท.บ.¹

สมศักดิ์ เจริญประภากร ท.บ., ท.ม. (ทันตกรรมจัดฟัน), อ.ท. (ทันตกรรมจัดฟัน)²

¹นิสิตปริญญาโทบัณฑิต ภาควิชาทันตกรรมจัดฟัน คณะทันตแพทยศาสตร์ จุฬาลงกรณ์มหาวิทยาลัย

²ภาควิชาทันตกรรมจัดฟัน คณะทันตแพทยศาสตร์ จุฬาลงกรณ์มหาวิทยาลัย

บทคัดย่อ

วัตถุประสงค์ เพื่อศึกษาความเปลี่ยนแปลงของขนาดแรงเสียดทานสติประห่วงแบร์กเกตเหล็กกล้าไม่เป็นสนิมกับลวดเหล็กกล้าไม่เป็นสนิม และลวดเบตาไทเทเนียม ภายหลังจากที่ผ่านการแขวนสารละลายที่ได้จากการผลิตภัณฑ์ฟลูออโรเด็ท 3 ชนิด

วัสดุและวิธีการ นำแบร์กเกตเหล็กกล้าไม่เป็นสนิมชนิดมาตรฐานของฟันเขี้ยวที่มัดติดกับลวดเหล็กกล้าไม่เป็นสนิม และลวดเบตาไทเทเนียม กลุ่มละ 25 ตัวอย่าง แขวนสารละลายฟลูออโรเด็ทที่ได้จากการผสมน้ำลายเทียมกับยาสีฟัน ผสมฟลูออโรเด็ท น้ำยาบ้วนปากฟลูออโรเด็ท และเจลฟลูออโรเด็ตนิดเคลือบ ที่อุณหภูมิ 37 องศาเซลเซียส วัดค่าแรงเสียดทานสติประห่วงโดยเครื่อง量ด์บูนิเวอร์แซลเพลทดิงแมชชีน โดยใช้ตุมน้ำหนักขนาด 5 นิวตัน ดึงด้วยความเร็ว 0.1 มม./นาที เป็นระยะเวลา 0.5 มม. ทำการเปรียบเทียบค่าเฉลี่ยแรงเสียดทานสติประห่วงกลุ่มต่างๆ โดยใช้สถิติวิเคราะห์ความแปรปรวนสองทางที่ระดับนัยสำคัญ .05

ผลการศึกษา เมื่อเปรียบเทียบกับกลุ่มควบคุม มีเพียงกลุ่มเจลฟลูออโรเด็ทชนิดเคลือบที่มีค่าเฉลี่ยแรงเสียดทานสติประห่วงแบร์กเกตและลวดเพิ่มขึ้นอย่างมีนัยสำคัญทางสถิติ ทั้งในกลุ่มตัวอย่างที่ใช้ลวดเหล็กกล้าไม่เป็นสนิม และลวดเบตาไทเทเนียม โดยมีค่าพีเท่ากับ .013 และ .000 ตามลำดับ เมื่อเปรียบเทียบระหว่างลวดหั้ง 2 ชนิดที่ผ่านการแขวนสารละลายเดียวกัน พบว่ามีเพียงกลุ่มยาสีฟันและเจลฟลูออโรเด็ตนิดเคลือบที่มีค่าเฉลี่ยแรงเสียดทานสติประห่วงกลุ่มตัวอย่างที่ใช้ลวดเบตาไทเทเนียมมีค่ามากกว่ากลุ่มตัวอย่างที่ใช้ลวดเหล็กกล้าไม่เป็นสนิมอย่างมีนัยสำคัญทางสถิติ โดยมีค่าพีเท่ากับ .003 และ .004 ตามลำดับ

สรุป/ การแข่งขันเบร๊กเกตเหล็กกล้าไม่เป็นสนิม ลดเหล็กกล้าไม่เป็นสนิมและลดเบต้าไทเทเนียมในสารละลายจากเจลฟลูออไรด์ชนิดเคลือบทำให้ค่าเฉลี่ยของแรงเสียดทานสูงกว่าเบร๊กเกตและลดเพิ่มขึ้นอย่างมีนัยสำคัญทางสถิติ

(ว. พันต. จุฬาฯ 2551;31:179-92)

คำสำคัญ: การกัดกร่อน; แบร๊กเกตเหล็กกล้าไม่เป็นสนิม; ฟลูออไรด์; แรงเสียดทานสูง; ลดเบต้าไทเทเนียม; ลดเหล็กกล้าไม่เป็นสนิม

บทนำ

ผู้ป่วยที่ได้รับการรักษาด้วยเครื่องมือจัดฟันชนิดติดแน่น (fixed orthodontic appliance) จะมีโอกาสเกิดการสูญเสียแร่ธาตุจากผิวเคลือบฟันได้มากกว่าผู้ป่วยทั่วไป^{1,2} ด้วยเหตุนี้ทันตแพทย์จึงนิยมให้ผู้ป่วยที่ใส่เครื่องมือจัดฟันชนิดติดแน่นใช้ผลิตภัณฑ์ฟลูออไรด์เพื่อป้องกันการเกิดรอยด่างขาวหรือฟันผุโดยเฉพาะในรูปแบบของยาสีฟันผสมฟลูออไรด์ และน้ำยาบ้วนปากฟลูออไรด์ ซึ่งผู้ป่วยสามารถใช้ได้เองเป็นประจำ

ถึงแม้ฟลูออไรด์จะมีประโยชน์อย่างมาก แต่ก็อาจก่อให้เกิดอุบัติเหตุต่อการรักษาทางทันตกรรมจัดฟันได้ เช่นกัน เนื่องจากมีผลการวิจัยยืนยันว่าฟลูออไรด์สามารถทำให้เกิดการกัดกร่อนของฟันผิวของเบร๊กเกตและลดได้หลายชนิด³⁻¹³ ความชุ่มชื้นของฟันผิวเบร๊กเกตและลดที่เกิดจากการกัดกร่อนเป็นสาเหตุหนึ่งที่ทำให้แรงเสียดทานระหว่างเบร๊กเกตและลดเพิ่มขึ้น จึงอาจเป็นเหตุให้เกิดความยุ่งยากในการเคลื่อนฟัน และอาจจำเป็นต้องเพิ่มระยะเวลาในการรักษาทางทันตกรรมจัดฟันตามมา

งานวิจัยครั้งนี้จึงมุ่งศึกษาผลของการใช้ผลิตภัณฑ์ฟลูออไรด์ที่มีต่อแรงเสียดทานสูงระหว่างเบร๊กเกตและลด ภายหลังจากการแข่งขันเบร๊กเกตและลดในสารละลายจากผลิตภัณฑ์ฟลูออไรด์ 3 ชนิดที่ผู้ป่วยที่ใส่เครื่องมือจัดฟันชนิดติดแน่นมักจะใช้ในชีวิตประจำวัน ได้แก่ ยาสีฟันผสมฟลูออไรด์น้ำยาบ้วนปากฟลูออไรด์ และเจลฟลูออไรด์ชนิดเคลือบ เพื่อให้ทราบผลของการใช้ผลิตภัณฑ์ฟลูออไรด์เหล่านี้ต่อค่าแรงเสียดทานสูงระหว่างเบร๊กเกตและลด

วัสดุและวิธีการ

การเตรียมตัวอย่างสำหรับแข่งขันสารละลายกระทำโดยเตรียมลดเหล็กกล้าไม่เป็นสนิม (Stainless Steel, Ormco, USA) และลดเบต้าไทเทเนียม (TMA, Ormco, USA) ที่

เป็นเส้นตรง ยาว 30 มม. ชนิดละ 100 เส้น สูมตัวอย่างเบร๊กเกตเหล็กกล้าไม่เป็นสนิม (Dyna-lock, 3M Unitek, Germany) 2 ตัว และลดชนิดละ 2 เส้น นำไปส่องกล้องจุลทรรศน์อิเล็กtronแบบส่องกราวด์ (scanning electron microscope) เพื่อบันทึกลักษณะพื้นผิวของเบร๊กเกตและลดที่ไม่ได้ผ่านการแข่งขันสารละลายได้ฯ จากนั้นยึดลดติดกับเบร๊กเกตด้วยวงอีลาสติเมอร์ (elastomeric ring) ยีห้อทัฟ (Tuff, CLENROE technologies, USA) แบ่งกลุ่มตัวอย่างตามชนิดของลดเป็น 2 กลุ่มใหญ่ จำนวนกลุ่มละ 100 ตัวอย่าง จำนวนแบ่งกลุ่มตัวอย่างแต่ละกลุ่มออกเป็น 4 กลุ่มย่อย กลุ่มละ 25 ตัวอย่าง โดยกลุ่มที่ 1 คือ กลุ่มควบคุมซึ่งไม่ได้ผ่านการแข่งขันสารละลายได้ฯ กลุ่มที่ 2 3 และ 4 คือ กลุ่มที่นำไปแข่งขันสารละลายจากยาสีฟันผสมฟลูออไรด์สารละลายจากน้ำยาบ้วนปากฟลูออไรด์ และสารละลายจากเจลฟลูออไรด์ชนิดเคลือบ ตามลำดับ

เตรียมสารละลายจากผลิตภัณฑ์ฟลูออไรด์ทั้ง 3 ชนิดโดยผสมกับน้ำลายเทียมจากภาควิชาเภสัชวิทยา คณะทันตแพทยศาสตร์ จุฬาลงกรณ์มหาวิทยาลัย ตามอัตราส่วนดังนี้ ยาสีฟันคอลเกตรสยอดนิยม (Colgate, Colgate-Palmolive Company, Thailand) ผสมกับน้ำลายเทียมในอัตราส่วนยาสีฟัน 1 กรัมต่อน้ำลายเทียม 4 มล. ผสมให้เป็นเนื้อเดียวกันจนเกิดฟอง น้ำยาบ้วนปากยีห้อออรัล-บี ทูรอนด์ กัมแคร์ไม่ผสมแอลกอฮอล์ (Oral-B Tooth and Gum Care Alcohol-Free Mouth Rinse, P&G, Thailand) ผสมกับน้ำลายเทียมในอัตราส่วน 8.5 ต่อ 1 และเจลฟลูออไรด์ชนิดเคลือบหรือเจลแอชิคูแลตเตทฟอสเฟตฟลูออไรด์ยีห้อซิกตีซิกเคลสต์ (60 Second Taste, Pascal, USA) ผสมกับน้ำลายเทียมในอัตราส่วน 1 ต่อ 1.4

อัตราส่วนในการผสมยาสีฟันกับน้ำลายเทียมคำนวณจากปริมาณยาสีฟันที่กองทันตสาธารณสุข กรมอนามัย กระทรวงสาธารณสุข แนะนำให้ใช้ในการแปรงฟันในผู้ใหญ่

นั่นคือ 1 กรัม/ครั้ง¹⁴ ผสมกับน้ำลายเทียมปริมาณ 4 มล. ที่คำนวณจากปริมาณน้ำลายที่คงอยู่ในช่องปาก (residual saliva) จำนวน 1 มล.¹⁵ รวมกับปริมาณน้ำลายเทียมที่ได้จากการคุณอัตราเฉลี่ยของการหลั่งน้ำลายขณะถูกกระตุนต่อน้ำที่นั่นคือ 1.5 มล./นาที^{16,17} กับจำนวนนาทีที่ใช้ในการแปรปนคือ 2 นาที ซึ่งเป็นระยะเวลาอย่างน้อยที่สุดที่กองทัณฑ์สาธารณสุข กรมอนามัย กระทรวงสาธารณสุข¹⁴ แนะนำให้ใช้ในการแปรปน 1 ครั้ง ดังนั้นปริมาณน้ำลายเทียมที่ใช้เพื่อจำลองปริมาณน้ำลายที่หลังออกਮາผสมกับยาสีฟันในการแปรปน 1 ครั้ง คือ 4 มล.

อัตราส่วนในการผสมน้ำยาบ้วนปากกับน้ำลายเทียมคำนวณจากปริมาณน้ำยาบ้วนปากที่ระบุไว้ตามคำแนะนำในฉลากของผลิตภัณฑ์ คือ 15 มล./ครั้ง ผสมกับน้ำลายเทียมปริมาณ 1.75 มล. ซึ่งคำนวณจากปริมาณน้ำลายที่คงอยู่ในช่องปากจำนวน 1 มล. รวมกับปริมาณน้ำลายเทียมที่ได้จากการคุณอัตราเฉลี่ยของการหลั่งน้ำลายขณะถูกกระตุนต่อน้ำที่นั่นคือ 1.5 มล./นาที กับจำนวนนาทีที่ใช้ในการออมน้ำยาบ้วนปากที่ระบุไว้ตามคำแนะนำในฉลากของผลิตภัณฑ์ นั่นคือ 30 วินาที/ครั้ง หรือ 0.5 นาที/ครั้ง ดังนั้นปริมาณน้ำลายเทียมที่ใช้เพื่อจำลองปริมาณน้ำลายที่หลังออกมามากกับน้ำยาบ้วนปากในการออมน้ำยา 1 ครั้ง คือ 1.75 มล.

อัตราส่วนในการผสมเจลฟลูอิร์ดชนิดเคลือบผสมกับน้ำลายเทียมคำนวณจากปริมาณเจลฟลูอิร์ดชนิดเคลือบที่กองทัณฑ์สาธารณสุข กรมอนามัย กระทรวงสาธารณสุข แนะนำให้ใช้ในการเคลือบ 1 ครั้ง นั่นคือ ประมาณ 1 ใน 3 ของคาดเคลือบฟลูอิร์ด หรือ 5 มล./ครั้ง¹⁸ ผสมกับน้ำลายเทียมปริมาณ 7 มล. ซึ่งคำนวณจากปริมาณน้ำลายที่คงอยู่ในช่องปากจำนวน 1 มล. รวมกับปริมาณน้ำลายเทียมที่ได้จากการคุณอัตราเฉลี่ยของการหลั่งน้ำลายขณะถูกกระตุนต่อน้ำที่นั่นคือ 1.5 มล./นาที กับจำนวนนาทีที่ใช้ในการออมน้ำยาบ้วนปากที่ระบุไว้ตามคำแนะนำในฉลากของผลิตภัณฑ์ นั่นคือ 4 นาที/ครั้ง ดังนั้นปริมาณน้ำลายเทียมที่ใช้เพื่อจำลองปริมาณน้ำลายที่หลังออกมามากกับน้ำยาบ้วนปากในการออมน้ำยา 1 ครั้ง คือ 7 มล.

จำนวนนวัตกรรมความเป็นกรด-เบส (pH) ของสารละลายทั้ง 3 ชนิดที่ผสมเสร็จ แล้วด้วยมาตรวัดความเป็นกรด-เบส (pH meter) ชนิดละ 3 ครั้ง นำมาหาค่าเฉลี่ยของค่าความเป็นกรด-เบสของสารละลายแต่ละชนิด

นำตัวอย่างในกลุ่มย่อยที่ 2 ไปแขวนสารละลายที่ได้จาก

ยาสีฟันนาน 336 นาทีเพื่อจำลองการแปรปนวันละ 2 ครั้ง ครั้งละ 2 นาที¹⁴ ในช่วงเวลา 12 สัปดาห์ นำกลุ่มย่อยที่ 3 ไปแขวนสารละลายจากน้ำยาบ้วนปากนาน 84 นาที เพื่อจำลองการใช้น้ำยาบ้วนปากวันละ 2 ครั้ง ครั้งละ 30 วินาที ในช่วงเวลา 12 สัปดาห์ ส่วนกลุ่มย่อยที่ 4 นำไปแขวนสารละลายจากเจลฟลูอิร์ดชนิดเคลือบนาน 4 นาที เพื่อจำลองการเคลือบเจลฟลูอิร์ดที่กระทำโดยทันตแพทย์ 1 ครั้ง ซึ่งมักจะกระทำทุก 6 เดือน ทำการเข้าด้วยตัวอย่างในถ้วยพลาสติกที่มีฝาปิดและนำไปปั่นในเครื่องอินคูเบเตอร์เชกเกอร์ (incubator shaker) เพื่อให้มีการแกว่งของสารละลายอย่างสม่ำเสมอ 80 รอบ/นาที และควบคุมอุณหภูมิที่ 37 องศาเซลเซียส เมื่อครบตามเวลาที่กำหนด ทำการวัดค่าความเป็นกรด-เบสของสารละลายทั้ง 3 ชนิดอีกครั้ง จากนั้นสูบตัวอย่างแบร์กเกต และลดจากแต่ละกลุ่มตัวอย่าง จำนวนกลุ่มละ 2 ตัวอย่างนำไปส่องกล้องจุลทรรศน์อิเล็กตรอนแบบส่องกราดเพื่อบันทึกลักษณะพื้นผิวของแบร์กเกตและลวดภายในตัวอย่างหลังจากที่ผ่านการแขวนสาร ละลายตามเวลาที่กำหนด

นำแบร์กเกตที่ยึดติดอยู่กับแท่งอะคริลิก (acrylic) ด้วยการใช้ยาในอะคริเลต (cyanoacrylate) ยึดเข้ากับเครื่องมือที่ต่อ กับส่วนครอบของเครื่องลอดอยู่นิวอร์แซลเทสติงแมชชีน รุ่นแอลดอร์ 10 เค (Lloyd Universal Testing Machine, LR10K, Lloyd Instruments, UK) ปรับมุมแบร์กเกตให้ทำมุม 1 องศากับลวดที่จะใช้ทดสอบด้วยเครื่องมือสำหรับตั้งมุม จากนั้นยึดลวดเข้ากับเครื่องมือสำหรับยึดลวดให้แน่นในตำแหน่งที่กำหนดไว้ โดยให้ลวดอยู่ในแนวตั้ง มัดแบร์กเกตเข้ากับลวดด้วยวงอีลัสโทเมอร์โดยใช้สเตรทชูทเตอร์ (straight shooter)

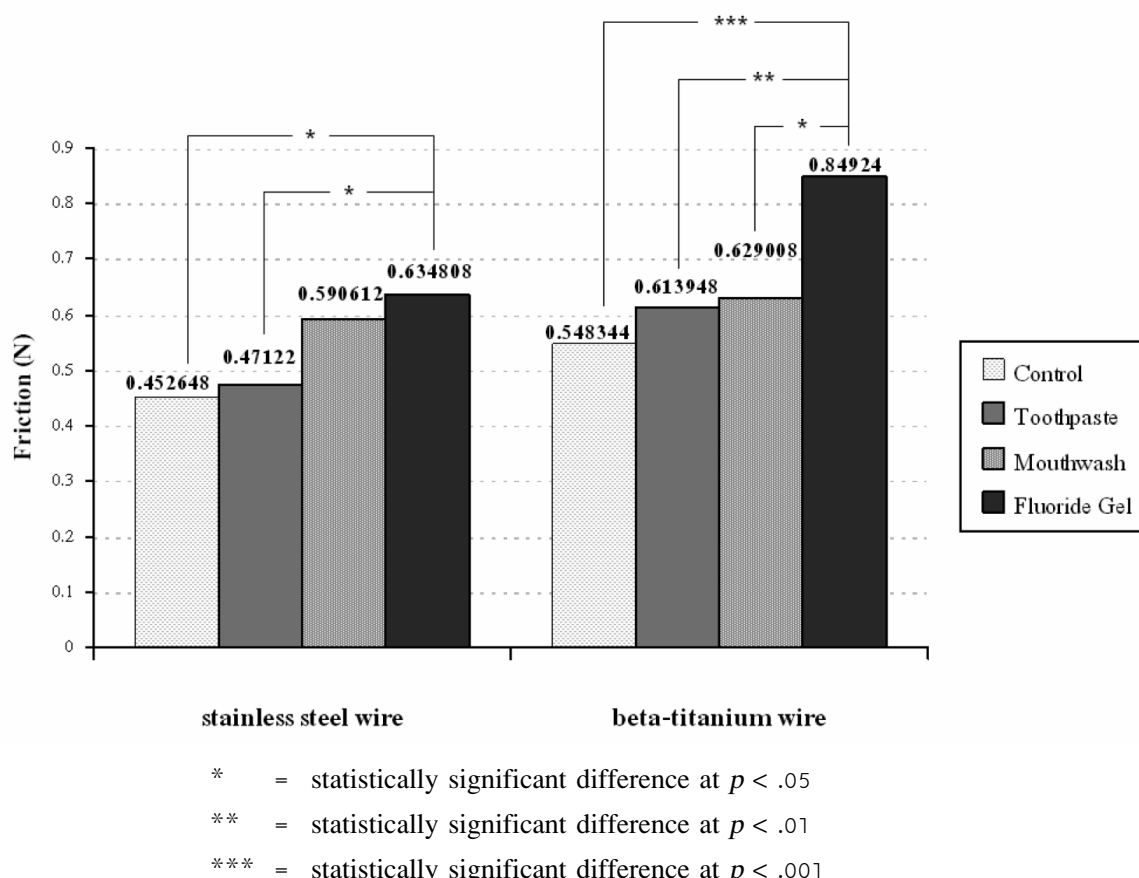
วัดแรงเสียดทานสติ๊ดระหว่างแบร์กเกตและลวดโดยใช้เครื่องลอดอยู่นิวอร์แซลเทสติงแมชชีน โดยใช้ตุ้มน้ำหนัก (load cell) 5 นิวตัน ดึงด้วยความเร็ว 0.1 มม./นาที เป็นระยะทาง 0.5 มม. บันทึกค่าแรงเสียดทานสติ๊ดจากกราฟแสดงความสัมพันธ์ระหว่างแรงที่ใช้ในการดึงกับระยะทางที่แบร์กเกตเคลื่อนผ่านลวดไป โดยเลือกตำแหน่งที่สูงสุดของกราฟก่อนที่เส้นกราฟแสดงการลดลงหรือคงที่ของค่าแรงที่ใช้ในการดึงโดยวัดเป็นหน่วยนิวตัน ศึกษาเปรียบเทียบค่าแรงเสียดทานสติ๊ดระหว่างแบร์กเกตและลวดทั้ง 2 ชนิด ตามวัตถุประสงค์การวิจัย

การพิสูจน์ทางสถิติถึงอิทธิพลของตัวแปรทั้งสองซึ่งได้แก่ ชนิดของลวดและชนิดของสารละลาย ที่มีต่อค่าแรงเสียดทาน สถิติระหว่างแบร์กเกตและลวดกระทำโดยใช้สถิติวิเคราะห์ความแปรปรวนสองทาง (Two-way ANOVA) ที่ระดับนัยสำคัญ .05 จากนั้นวิเคราะห์ความแตกต่างของค่าเฉลี่ยของขนาดแรงเสียดทานสถิติระหว่างแบร์กเกตและลวดเหล็ก-กล้าไม่เป็นสนิมที่ผ่านการแข็งสารละลายที่ได้จากการทดสอบที่ฟลูออไรเดตต่างชนิดกันโดยใช้สถิติวิเคราะห์ความแปรปรวนทางเดียวแบบพารามิทริก (One-way ANOVA) และสถิติการเปรียบเทียบเชิงข้อมูลอนเพอร์โร์นี (Bonferroni) ที่ระดับนัยสำคัญ .05 ในขณะที่กลุ่มตัวอย่างที่ใช้ลวดเบตาไทเทเนียมจำเป็นต้องใช้สถิติวิเคราะห์ความแปรปรวนแบบบราวน์ฟอร์ซิธ (Brown-Forsyth) และสถิติการเปรียบเทียบเชิงข้อมูลแทนเมียนส์ทีทู (Tamhane's T2) เนื่องจากมีค่าความแปรปรวนไม่เท่ากัน และวิเคราะห์ความแตกต่างของค่าเฉลี่ยของขนาดแรงเสียดทานสถิติระหว่างแบร์กเกตกับลวด

ต่างชนิดกันที่ผ่านการแข็งสารละลายที่ได้จากการทดสอบที่ฟลูออไรเดตต่างชนิดเดียวกันโดยใช้สถิติวิเคราะห์ความแตกต่างของค่าเฉลี่ยแบบที่ (Independent t-test) ที่ระดับนัยสำคัญ .05

ผลการศึกษา

เมื่อเปรียบเทียบค่าเฉลี่ยแรงเสียดทานสถิติระหว่างกลุ่มตัวอย่างที่ใช้ลวดเหล็กกล้าไม่เป็นสนิมพบว่า เมื่อเปรียบเทียบกับกลุ่มควบคุมมีเพียงกลุ่มเจลฟลูออไรเดตชนิดเคลือบที่มีค่าเฉลี่ยแรงเสียดทานสถิติเพิ่มขึ้นอย่างมีนัยสำคัญทางสถิติ (ค่าพีเท่ากับ .013) และเมื่อเปรียบเทียบค่าเฉลี่ยแรงเสียดทานสถิติระหว่างกลุ่มตัวอย่างที่ผ่านการแข็งสารละลาย 3 ชนิดพบว่า ค่าเฉลี่ยแรงเสียดทานของกลุ่มยาสีฟันมีค่าน้อยกว่ากลุ่มเจลฟลูออไรเดตชนิดเคลือบอย่างมีนัยสำคัญทางสถิติ (ค่าพีเท่ากับ .035) ในขณะที่ค่าเฉลี่ยแรงเสียดทานสถิติของกลุ่มน้ำยาบ้วนปากฟลูออไรด์ไม่มีความแตกต่างอย่างมีนัยสำคัญทางสถิติกับกลุ่มตัวอย่างกลุ่มอื่น ๆ ดังแสดงในรูปที่ 1



รูปที่ 1 การเปรียบเทียบค่าเฉลี่ยแรงเสียดทานสถิติในกลุ่มตัวอย่างที่ใช้ลวดเหล็กกล้าไม่เป็นสนิม และลวดเบตาไทเทเนียม

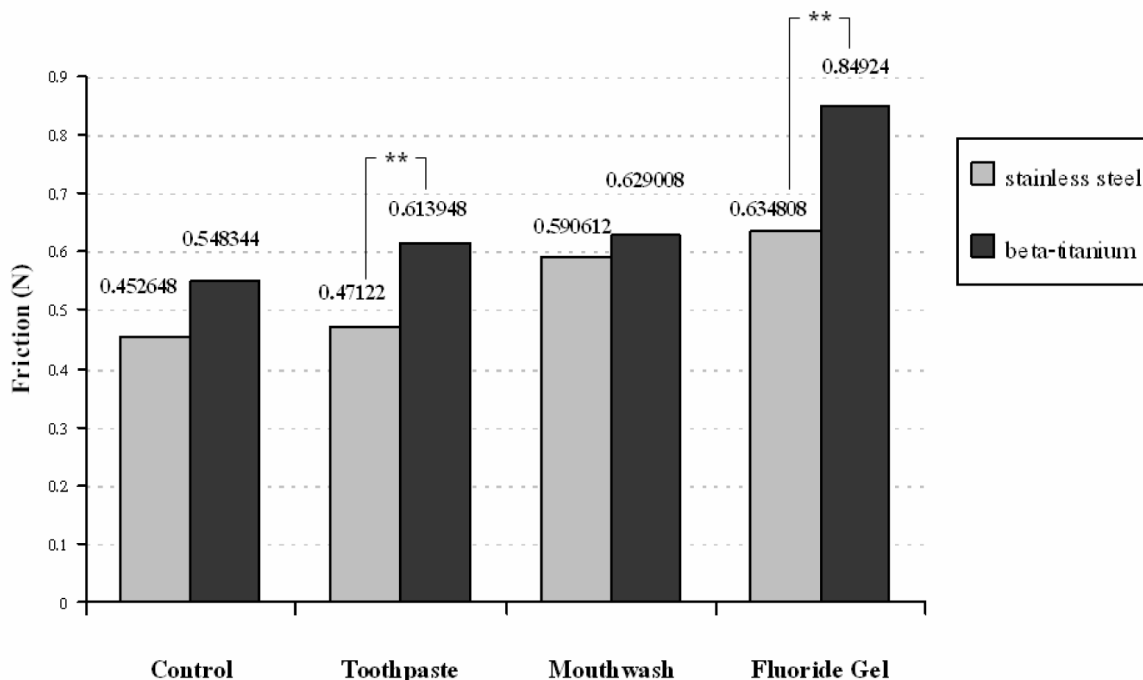
Fig. 1 Comparison the mean static friction forces of stainless steel wire groups and beta-titanium wire groups

ส่วนในกลุ่มตัวอย่างที่ใช้ลวดเบตาไทเทเนียมพบว่า เมื่อเปรียบเทียบกับกลุ่มควบคุม มีเพียงกลุ่มเจลฟลูออไรด์ ชนิดเคลือบเช่นกันที่มีค่าเฉลี่ยแรงเสียดทานสถิติเพิ่มขึ้นอย่าง มีนัยสำคัญทางสถิติ (ค่าพีเท่ากับ .000) เมื่อเปรียบเทียบค่าเฉลี่ยแรงเสียดทานสถิติระหว่างกลุ่มตัวอย่างที่ใช้ลวดเบتاไทเทเนียมซึ่งผ่านการแช่ในสารละลายน 3 ชนิด พบร่วมกับค่าเฉลี่ยของกลุ่มยาสีฟันและกลุ่มน้ำยาบ้วนปากฟลูออไรด์ต่ออย่างมีนัยสำคัญทางสถิติ โดยมีค่าพีเท่ากับ .004 และ .015 ตามลำดับ แต่ไม่พบความแตกต่างอย่างมีนัยสำคัญทางสถิติเมื่อเปรียบเทียบค่าเฉลี่ยแรงเสียดทานสถิติระหว่างกลุ่มยาสีฟันและกลุ่มน้ำยาบ้วนปากฟลูออไรด์ ดังแสดงในรูปที่ 1

เมื่อเปรียบเทียบค่าเฉลี่ยของขนาดแรงเสียดทานสถิติระหว่างลวดเหล็กกล้าไม่เป็นสนิมและลวดเบتاไทเทเนียมในกลุ่มควบคุมและกลุ่มที่ผ่านการแช่ในสารละลายนี้ที่ได้จากการ

ผลิตภัณฑ์ฟลูออไรด์ชนิดเดียวกันพบว่า กลุ่มตัวอย่างที่ใช้ลวดเบتاไทเทเนียมมีค่าเฉลี่ยแรงเสียดทานสถิติมากกว่า กลุ่มตัวอย่างที่ใช้ลวดเหล็กกล้าไม่เป็นสนิมอย่างมีนัยสำคัญทางสถิติเฉพาะในกลุ่มยาสีฟันและกลุ่มเจลฟลูออไรด์ชนิดเคลือบท่านนี้ โดยมีค่าพีเท่ากับ .003 และ .004 ตามลำดับ ส่วนในกลุ่มควบคุมและกลุ่มน้ำยาบ้วนปากฟลูออไรด์ไม่พบความแตกต่างอย่างมีนัยสำคัญทางสถิติของค่าเฉลี่ยแรงเสียดทานสถิติระหว่างกลุ่มตัวอย่างที่ใช้ลวดทั้ง 2 ชนิด ดังแสดงในรูปที่ 2

ภาพถ่ายจากกล้องจุลทรรศน์อิเล็กตรอนแบบส่องกราดแสดงให้เห็นว่า พื้นผิวของแบร์กเกตและลวดทั้ง 2 ชนิดในกลุ่มเจลฟลูออไรด์ชนิดเคลือบมีการกัดกร่อนมากกว่าพื้นผิวของแบร์กเกตและลวดในกลุ่มอื่น ๆ อย่างชัดเจน โดยพื้นผิวของแบร์กเกตในกลุ่มยาสีฟันและน้ำยาบ้วนปากฟลูออไรด์นั้นถูกกัดกร่อนเป็นร่องลึกและแอบ กระจายตัวอยู่ทั่วไป แต่พื้นผิวส่วนใหญ่เรียบเหมือนกับแบร์กเกตในกลุ่มควบคุม ในขณะ



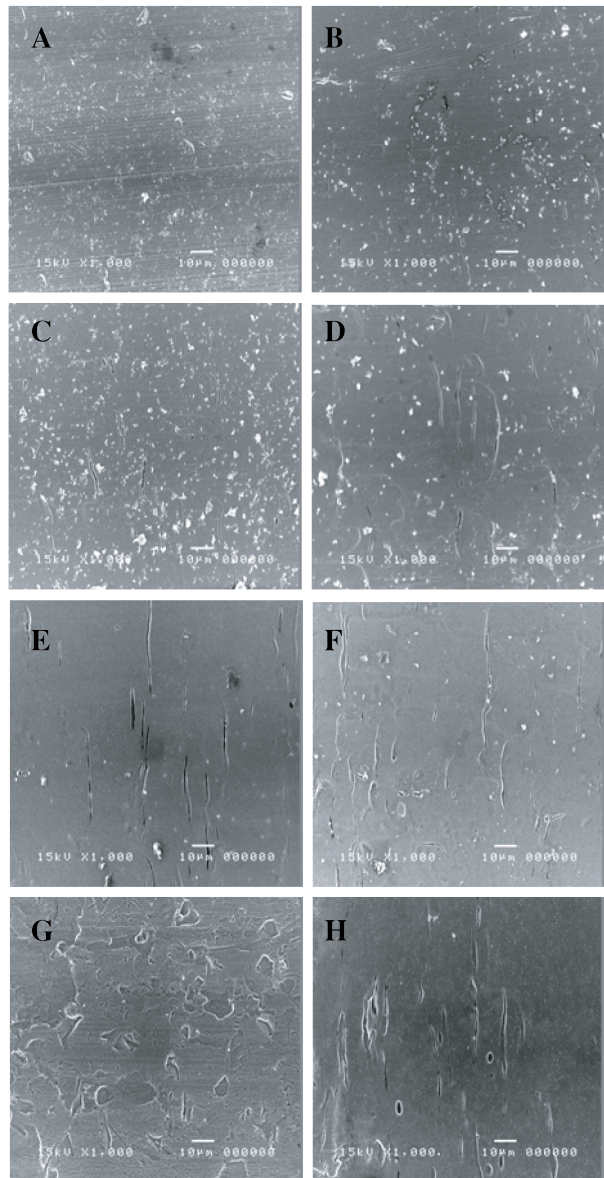
** = statistically significant difference at $p < .01$

รูปที่ 2 การเปรียบเทียบค่าเฉลี่ยแรงเสียดทานสถิติระหว่างกลุ่มตัวอย่างที่ใช้ลวดเหล็กกล้าไม่เป็นสนิมและลวดเบتاไทเทเนียมในกลุ่มควบคุมและกลุ่มที่ผ่านการแช่ในสารละลายนี้ที่ได้เย็บกัน

Fig. 2 Comparison the mean static friction forces of stainless steel wire groups to those of beta-titanium wire groups which were immersed in the same solution

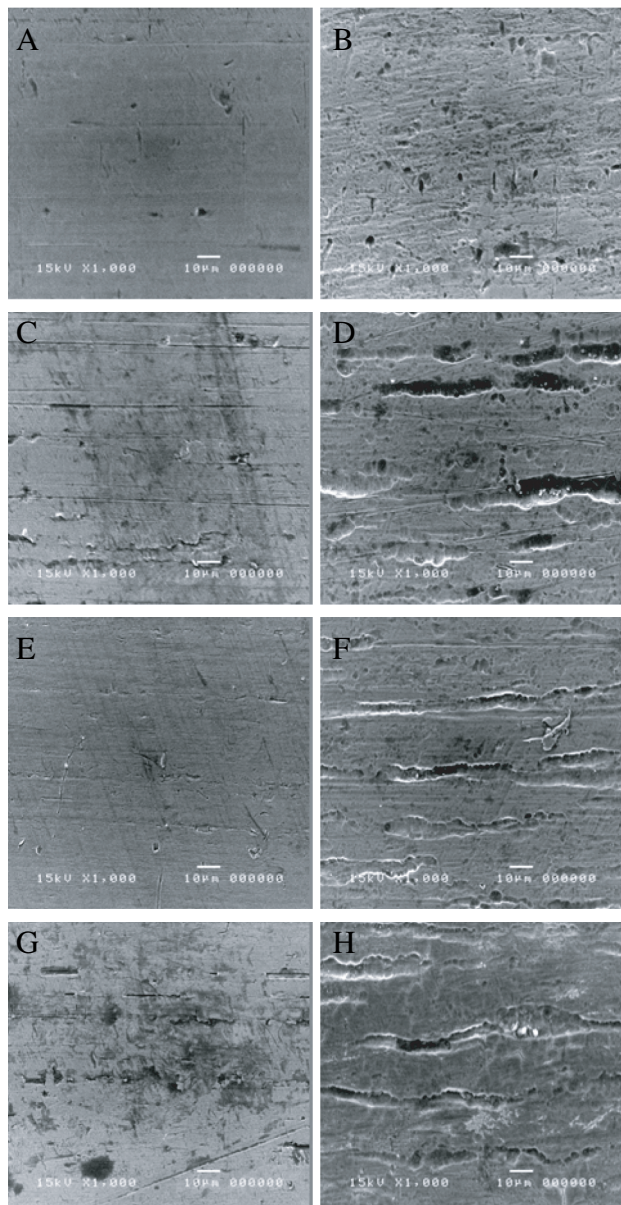
ที่พื้นผิวของแบร์กเกตในกลุ่มเจลฟลูออไรด์ชนิดเคลือบมีการหลุดลอกเป็นแผ่นกว้าง ทำให้พื้นผิวมีความชุกระยะมาก ดังรูปที่ 3 เมื่อพิจารณาลักษณะการกัดกร่อนของพื้นผิวของลวดในกลุ่มเจลฟลูออไรด์ชนิดเคลือบพบว่า พื้นผิвлวดมีการ

กัดกร่อนเป็นร่องตามเส้นในแนวขวางที่เกิดจากกระบวนการผลิต เช่นเดียวกับในกลุ่มยาสีฟันและน้ำยาบ้วนปากฟลูออไรด์ และยังพบการแตกกร้าวและหลุดลอกของพื้นผิวของลวดอีกด้วย ดังรูปที่ 4



รูปที่ 3 ภาพถ่ายจากกล้องจุลทรรศน์อิเล็กตรอนแบบส่องการดูของพื้นผิวของแบร์กเกตเหล็กกล้าไม่เป็นสนิมของกลุ่มตัวอย่างที่ใช้ลวดเหล็กกล้าไม่เป็นสนิม (คอลัมน์ซ้าย) และกลุ่มตัวอย่างที่ใช้ลวดเบตาไทเทเนียม (คอลัมน์ขวา) ในกลุ่มควบคุม (A, B) กลุ่มที่ผ่านการแช่ในสารละลายจากยาสีฟันผสมฟลูออไรด์ (C, D) กลุ่มที่ผ่านการแช่ในสารละลายจากน้ำยาบ้วนปากฟลูออไรด์ (E, F) และกลุ่มที่ผ่านการแช่ในสารละลายจากเจลฟลูออไรด์ชนิดเคลือบ (G, H)

Fig 3. Scanning electron micrographs of stainless steel bracket surfaces of stainless steel wire groups (left column) and beta-titanium wire groups (right column) in the control group (A, B), toothpaste solution-immersed groups (C, D) mouthwash solution-immersed groups (E, F) and APF solution-immersed groups (G, H)



รูปที่ 4 ภาพถ่ายจากกล้องจุลทรรศน์อิเล็กตรอนแบบส่องการดูของผิวของลวดเหล็กกล้าไม้เป็นสนิม (คอลัมน์ซ้าย) และลวดเบตาไทเทเนียม (คอลัมน์ขวา) ในกลุ่มควบคุม (A, B) กลุ่มที่ผ่านการแช่ในสารละลายจากยาสีฟันผสมฟลูออไรด์ (C, D) กลุ่มที่ผ่านการแช่ในสารละลายจากน้ำยาบ้วนปากฟลูออไรด์ (E, F) และกลุ่มที่ผ่านการแช่ในสารละลายจากเจลฟลูออไรด์ชนิดเคลือบ (G, H)

Fig 4. Scanning electron micrographs of stainless steel wire surfaces (left column) and beta-titanium wire surfaces (right column) in the control group (A, B), toothpaste solution-immersed groups (C, D) mouth-wash solution-immersed groups (E, F) and APF solution-immersed groups (G, H)

ผลของการวัดค่าเฉลี่ยความเป็นกรด-เบสของสารละลายพบว่า สารละลายจากเจลฟลูออไรด์ชนิดเคลือบมีฤทธิ์เป็นกรดมากที่สุดรองลงมา คือ สารละลายจากน้ำยาบ้วนปาก ส่วนสารละลายจากยาสีฟันมีคุณสมบัติเป็นกลาง ดังแสดงในตารางที่ 1 และเมื่อเปรียบเทียบความเข้มข้นของฟลูออไรด์ใน/on ระหว่างสารละลายฟลูออไรด์ 3 ชนิดพบว่าสารละลายจากเจลฟลูออไรด์ชนิดเคลือบมีระดับความเข้มข้นของฟลูออไรด์ใน/on สูงที่สุด รองลงมา คือ สารละลายจากยาสีฟัน และสารละลายจากน้ำยาบ้วนปาก ตามลำดับ ดังแสดงในตารางที่ 1

วิจารณ์

ระยะเวลาในการแข็งตัวอย่างและความเข้มข้นของสารละลายแต่ละชนิดในงานวิจัยครั้งนี้ได้พยายามจำลองการใช้ผลิตภัณฑ์ฟลูออไรด์ในชีวิตประจำวันของผู้ป่วยในช่วงระยะเวลา 12 สัปดาห์ ซึ่งเป็นช่วงเวลาที่ลวดเหลี่ยม 1 เส้นมักจะถูกใช้อย่างต่อเนื่องในช่องปาก ส่วนสาเหตุที่กำหนดด้วยกระทำระหว่างแบร์กเกตและลวดให้เท่ากับ 1 องศาเนื่องจากเป็นค่าประมาณของมุมวิกฤตที่มีขนาด 0.8310 องศา การกำหนดขนาดมุมในการวัดให้เท่ากับมุมวิกฤตเป็นการควบคุมพื้นสัมผัสระหว่างแบร์กเกตและลวดให้จำกัดอยู่ในแนวทแยงมุมทุกครั้งที่ทำการทดสอบ ซึ่งแตกต่างไปจากการกำหนดค่ามุมในการวัดให้เป็น 0 องศาที่ลวดสามารถสัมผัสด้วยแบร์กเกตได้หลากหลายรูปแบบ

ผลจากการศึกษาพบว่า ทั้งในกลุ่มตัวอย่างที่ใช้ลวดเหล็กกล้าไม่เป็นสนิมและกลุ่มตัวอย่างที่ใช้ลวดเบตาไทเทเนียม มีเพียงกลุ่มตัวอย่างที่ผ่านการแข็งสารละลายจากเจลฟลูออไรด์ชนิดเคลือบท่านนี้มีค่าเฉลี่ยแรงเสียดทานสูงกว่ากลุ่มควบคุมอย่างมีนัยสำคัญทางสถิติ ซึ่งสอดคล้องกับการศึกษาของ Kao และคณะ⁵ ที่พบว่าค่าเฉลี่ยแรงเสียดทานสูงกว่า แรงที่แบร์กเกตเหล็กกล้าไม่เป็นสนิมกับลวดเหล็กกล้าไม่เป็นสนิม ลวดเบตาไทเทเนียม และลวดนิกเกิลไทเทเนียม ภายหลังจากการแข็งน้ำยาเอซูเลตเดฟฟลูออไรด์ที่มีความเข้มข้นร้อยละ 0.2 มีค่ามากกว่ากลุ่มควบคุมที่ผ่านการแข็งน้ำยาเที่ยมอย่างมีนัยสำคัญ

ภาพถ่ายจากกล้องจุลทรรศน์อิเล็กตรอนแบบส่องกราดได้แสดงให้เห็นว่าพื้นผิวของแบร์กเกตและลวดทั้ง 2 ชนิดในกลุ่มเจลฟลูออไรด์ชนิดเคลือบมีการกัดกร่อนมากกว่าพื้นผิวของแบร์กเกตและลวดในกลุ่มอื่นๆ อย่างชัดเจน โดยสาเหตุที่ตัวอย่างในกลุ่มเจลฟลูออไรด์ชนิดเคลือบถูกกัดกร่อนมากกว่าตัวอย่างในกลุ่มอื่นๆ อาจเป็นเพราะสารละลายจากเจลฟลูออไรด์ชนิดเคลือบมีความเข้มข้นของฟลูออไรด์ใน/on สูงถึง 12,282.80 พีพีเอ็ม ซึ่งมากกว่าสารละลายจากยาสีฟันผสมฟลูออไรด์และสารละลายจากน้ำยาบ้วนปากฟลูออไรด์ที่มีความเข้มข้นของฟลูออไรด์ใน/on 996.02 พีพีเอ็ม และ 225.97 พีพีเอ็ม ตามลำดับ เจลฟลูออไรด์ชนิดเคลือบจึงสามารถทำให้เกิดการกัดกร่อนของพื้นผิวแบร์กเกตและลวดได้มากกว่า ซึ่งสอดคล้องกับการศึกษาของ Huang⁴ ที่พบว่าพื้นผิวของลวดนิกเกิลไทเทเนียมที่ผ่านการแข็งในเจลฟลูออไรด์

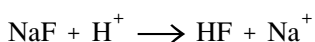
ตารางที่ 1 การเปรียบเทียบค่าเฉลี่ยความเป็นกรด-เบสและความเข้มข้นของฟลูออไรด์ใน/on ระหว่างสารละลายฟลูออไรด์ 3 ชนิด

Table 1 comparison the mean pH and fluoride ion concentration of three types of fluoride solutions Solution

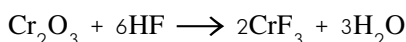
Solution	Mean pH	Fluoride ion concentration (ppm)
Toothpaste solution	7.00	996.02
Mouthwash solution	6.09	225.97
Fluoride gel solution	5.18	12,282.80

ที่มีความเข้มข้นของฟลูออไรด์ไอโอดอนสูง (17,000 พีพีเอ็ม) มีการกัดกร่อนมากกว่าลดในกลุ่มควบคุมที่ผ่านการแซในน้ำลาย เทียบอย่างมีนัยสำคัญทางสถิติ ส่วนลดที่ผ่านการแซในน้ำยาบ้วนปากฟลูออไรด์และในน้ำลายเทียบมีผลสมยาสีฟันฟลูออไรด์ที่มีความเข้มข้นของฟลูออไรด์ไอโอดอนต่ำ (น้อยกว่า 2,500 พีพีเอ็ม) กลับไม่พบว่ามีการกัดกร่อนของพื้นผิวลดเมื่อเปรียบเทียบกับกลุ่มควบคุม

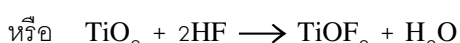
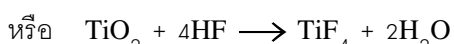
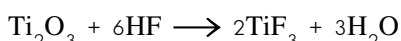
สาเหตุอีกประการหนึ่ง ได้แก่ ความเป็นกรดของสารละลาย การศึกษาส่วนใหญ่พบว่า สภาพที่เป็นกรดจะส่งเสริมให้เกิดการกัดกร่อนของแบร์กเกตและลด^{6,10,19} เนื่องจากในสภาวะที่เป็นกรด สารประกอบฟลูออไรด์ที่มีประจุ เช่น โซเดียมฟลูออไรด์ (sodium fluoride) หรือไฮโดรเจนฟลูออไรด์ (hydrogen fluoride) สามารถทำลายชั้นของพิล์มออกไซด์ (oxide film) ที่อยู่บนผิวของเหล็กกล้าไม่เป็นสนิมและให้ละผลไหเทเนียมได้ เพราะสารประกอบฟลูออไรด์จะทำปฏิกิริยากับไฮโดรเจนไอโอดอนทำให้เกิดกรดไฮโดรฟลูออเริก (hydrofluoric acid) ขึ้น ดังสมการ



บนพื้นผิวของเหล็กกล้าไม่เป็นสนิม กรดไฮโดรฟลูออเริกที่ได้นี้จะทำปฏิกิริยากับไฮเมียมออกไซด์ (chromium oxide) ดังสมการดังไปนี้



และบนพื้นผิวของโลหะผสมไทเทเนียม กรดไฮโดรฟลูออเริกจะทำปฏิกิริยากับไทเทเนียมออกไซด์ (titanium oxide) ดังสมการดังไปนี้



สารประกอบฟลูออไรด์ที่เกิดขึ้นจากปฏิกิริยาเหล่านี้สามารถละลายน้ำได้ จึงทำให้เกิดการสูญเสียชั้นของพิล์มออกไซด์ที่ปกป้องพื้นผิวของโลหะไป และทำให้เกิดการกัดกร่อนตามมา^{3,20}

ผลจากการศึกษาในครั้งนี้พบว่า สารละลายจากเจลฟลูออไรด์ชนิดเคลือบมีค่าความเป็นกรด-เบส 5.18 ซึ่งต่ำกว่า

สารละลายจากยาสีฟันผสมฟลูออไรด์และน้ำยาบ้วนปากฟลูออไรด์ที่มีค่าความเป็นกรด-เบส 7.00 และ 6.09 ตามลำดับ สารละลายจากเจลฟลูออไรด์ชนิดเคลือบจึงมีความเข้มข้นของไฮโดรเจนไอโอดอนมากกว่าสารละลายอื่นๆ ด้วยเหตุนี้จึงส่งผลให้ตัวอย่างในกลุ่มเจลฟลูออไรด์ชนิดเคลือบถูกกัดกร่อนได้มากกว่าตัวอย่างในกลุ่มอื่นๆ

ดังนั้นเมื่อพื้นผิวของแบร์กเกตและลดในกลุ่มเจลฟลูออไรด์ชนิดเคลือบถูกกัดกร่อนมากกว่าในกลุ่มอื่นๆ จึงทำให้มีความชุขระของพื้นผิวเพิ่มขึ้น ส่งผลทำให้ค่าแรงเสียดทานลดลงระหว่างแบร์กเกตและลดของกลุ่มเจลฟลูออไรด์ชนิดเคลือบมีค่ามากกว่ากลุ่มตัวอย่างกลุ่มอื่นๆ

ส่วนภาพถ่ายจากกล้องจุลทรรศน์อิเล็กตรอนแบบส่อง粒粒ที่แสดงการกัดกร่อนของพื้นผิวของแบร์กเกตและลดทั้ง 2 ชนิดที่ผ่านการแซในสารละลายจากยาสีฟันและน้ำยาบ้วนปากฟลูออไรด์ ดังแสดงในรูปที่ 3 และ 4 อาจสามารถนำมาอธิบายสาเหตุของการเพิ่มขึ้นของค่าเฉลี่ยแรงเสียดทานลดลงของกลุ่มยาสีฟัน และน้ำยาบ้วนปากฟลูออไรด์เมื่อเปรียบเทียบกับค่าเฉลี่ยแรงเสียดทานลดลงของกลุ่มควบคุม ถึงแม้ว่าจะไม่มีความแตกต่างอย่างมีนัยสำคัญทางสถิติก็ตาม

เมื่อเปรียบเทียบค่าเฉลี่ยแรงเสียดทานลดลงระหว่างกลุ่มตัวอย่างที่ใช้ลด 2 ชนิดพบว่า ในกลุ่มน้ำยาบ้วนปากและกลุ่มควบคุมที่ไม่ได้ผ่านการแซในสารละลายได้ฯ ไม่พบความแตกต่างอย่างมีนัยสำคัญทางสถิติของค่าเฉลี่ยแรงเสียดทานลดลงซึ่งขัดแย้งกับการศึกษาที่ผ่านมาที่พบว่า ลดเบต้าไทเทเนียมทำให้เกิดแรงเสียดทานลดลงระหว่างแบร์กเกตและลดได้มากกว่าลดเหล็กกล้าไม่เป็นสนิม²¹⁻²⁴ มีเพียงกลุ่มตัวอย่างที่ใช้ลดเบต้าไทเทเนียมในกลุ่มยาสีฟัน และกลุ่มเจลฟลูออไรด์ชนิดเคลือบเท่านั้นที่มีค่าเฉลี่ยของขนาดแรงเสียดทานลดลงกว่ากลุ่มตัวอย่างที่ใช้ลดเหล็กกล้าไม่เป็นสนิมอย่างมีนัยสำคัญทางสถิติ ซึ่งสอดคล้องกับภาพถ่ายจากกล้องจุลทรรศน์อิเล็กตรอนแบบส่อง粒粒ที่แสดงให้เห็นว่า ลดเบต้าไทเทเนียมในกลุ่มยาสีฟันและกลุ่มเจลฟลูออไรด์ชนิดเคลือบมีการกัดกร่อนของพื้นผิวมากกว่าในกลุ่มควบคุมและกลุ่มน้ำยาบ้วนปากฟลูออไรด์อย่างเห็นได้ชัดเจนซึ่งอาจมีสาเหตุมาจากการเข้มข้นของฟลูออไรด์ไอโอดอนในสารละลายจากเจลฟลูออไรด์ชนิดเคลือบที่มีค่าสูงมาก และระยะเวลาในการแซตัวอย่างในกลุ่มยาสีฟันที่ยาวนานกว่ากลุ่มตัวอย่างกลุ่มอื่นๆ จึงทำให้การกัดกร่อนของลดเบต้าไทเทเนียมและลดเหล็กกล้าไม่เป็นสนิมในสารละลายทั้ง 2 ชนิดนี้มีความแตกต่างกันมากกว่าในกลุ่ม

ควบคุมและกลุ่มน้ำยาบัวน้ำปากฟลูอิโอดีท จึงส่งผลทำให้เกิดความแตกต่างของค่าเฉลี่ยแรงเสียดทานสติ๊กตามมาในที่สุด

อย่างไรก็ตาม เมื่อเปรียบเทียบลักษณะของการกัดกร่อนของพื้นผิวแบบเบร์กเกตระหว่างกลุ่มตัวอย่างที่ใช้ลวด 2 ชนิดที่ผ่านการแข็งสารละลายจากเจลฟลูอิโอดีชนิดเคลือบพบว่า พื้นผิวของเบร์กเกตในกลุ่มตัวอย่างที่ใช้ลวดเหล็กกล้าไม่เป็นสนิมมีการหลุดออกเป็นแผ่น ทำให้เกิดลักษณะเป็นแอ่งกว้างแต่ไม่พบลักษณะการกัดกร่อนแบบเป็นร่อง ในขณะที่พื้นผิวของเบร์กเกตเหล็กกล้าไม่เป็นสนิมในกลุ่มตัวอย่างที่ใช้ลวดเบตาไทเทเนียมกลับพบลักษณะการกัดกร่อนเป็นร่องเช่นเดียว กับเบร์กเกตในกลุ่มยาสีฟันและน้ำยาบัวน้ำปากฟลูอิโอดี แต่ร่องที่พบมีความกว้างและความลึกมากกว่า นอกจากนี้ยังพบการหลุดออกของพื้นผิวของโลหะได้เช่นเดียวกับกับกลุ่มตัวอย่างที่ใช้ลวดเหล็กกล้าไม่เป็นสนิมที่ผ่านการแข็งสารละลายจากเจลฟลูอิโอดีชนิดเคลือบ แต่มีการหลุดออกของพื้นผิวในปริมาณที่น้อยกว่า สาเหตุที่เป็นเช่นนี้สามารถอธิบายได้ด้วยทฤษฎีการกัดกร่อนแบบกัล瓦นิก (galvanic corrosion) นั่นคือ เมื่อโลหะ 2 ชนิดอยู่ในสารละลายอิเล็กโทรไลต์เดียวกัน โลหะที่มีค่าศักย์รีดักชันมาตรฐาน (standard electrode potential, E⁰) สูงกว่าจะเกิดปฏิกิริยาเรียดักชัน (reduction reaction) ทำหน้าที่เป็นขั้วแคโทด (cathode) มีการรับอิเล็กตรอน ส่วนโลหะที่มีค่าศักย์รีดักชันมาตรฐานต่ำกว่าจะทำหน้าที่เป็นขั้วแอนод (anode) และเกิดปฏิกิริยาออกซิเดชัน (oxidation reaction) มีการสูญเสียอิเล็กตรอน ทำให้มีการกัดกร่อนเกิดขึ้นที่ขั้วแอนอด หลักการนี้ได้ถูกนำไปประยุกต์ใช้ในการป้องกันการกัดกร่อนหรือการเกิดสนิมของโลหะในงานอุตสาหกรรมขนาดใหญ่ที่จำเป็นต้องมีการแข็งโลหะในน้ำหรือฝังโลหะได้ดิน โดยเรียกว่า การป้องกันแบบแคಥodic (cathodic protection) เช่น การต่อโลหะอะลูมิเนียมหรือสังกะสีเข้ากับท่อส่งน้ำมันที่ทำจากเหล็กเพื่อให้อะลูมิเนียมหรือสังกะสีทำหน้าที่เป็นขั้วแอนอด แยกจ่ายอิเล็กตรอน เป็นต้น²⁵ ดังนั้นเมื่อแข็งเบร์กเกตเหล็กกล้าไม่เป็นสนิมพร้อมกับลวดเบตาไทเทเนียม แบบเบร์กเกตเหล็กกล้าเป็นสนิมที่มีค่าศักย์รีดักชันมาตรฐานสูงกว่า จึงทำหน้าที่เป็นขั้วแคโทด ส่วนลวดเบตาไทเทเนียมที่มีค่าศักย์รีดักชันมาตรฐานต่ำกว่าทำหน้าที่เป็นขั้วแอนอด ทำให้ลวดเบตาไทเทเนียมในกลุ่มนี้มีการกัดกร่อนมากในขณะที่แบบเบร์กเกตเหล็กกล้าไม่เป็นสนิมกลับมีการกัดกร่อนน้อยกว่า เมื่อเปรียบเทียบกับแบบเบร์กเกตเหล็กกล้าไม่เป็นสนิมที่แข็งพร้อมกับลวดเหล็กกล้าไม่เป็นสนิม ด้วยเหตุนี้การเคลือบเจลฟลูอิโอดีชนิดเคลือบในขณะที่ใช้แบบเบร์กเกตเหล็กกล้า

ไม่เป็นสนิมร่วมกับลวดที่ทำจากโลหะผสมไทเทเนียม จึงอาจช่วยลดการกัดกร่อนของเบร์กเกตลงได้ แต่ควรเปลี่ยนลวดภายนอกจากการเคลือบเจลฟลูอิโอดีชนิดเคลือบ

สรุป

การแข็งแบบเบร์กเกตเหล็กกล้าไม่เป็นสนิม ลวดเหล็กกล้าไม่เป็นสนิมและลวดเบตาไทเทเนียมในสารละลายจากเจลฟลูอิโอดีชนิดเคลือบ ทำให้ค่าเฉลี่ยแรงเสียดทานสติ๊กระหว่างแบบเบร์กเกตและลวดเพิ่มขึ้นอย่างมีนัยสำคัญทางสถิติเมื่อเปรียบเทียบกับกลุ่มควบคุม ในขณะที่การแข็งแบบเบร์กเกตและลวดในสารละลายจากยาสีฟันผสมฟลูอิโอดีและสารละลายจากน้ำยาบัวน้ำปากฟลูอิโอดีไม่ส่งผลต่อค่าเฉลี่ยแรงเสียดทานสติ๊กอย่างมีนัยสำคัญทางสถิติ ค่าเฉลี่ยของขนาดแรงเสียดทานสติ๊กของกลุ่มตัวอย่างที่ใช้ลวดเบตาไทเทเนียมที่ผ่านการแข็งสารละลายจากยาสีฟันผสมฟลูอิโอดี และสารละลายจากเจลฟลูอิโอดีชนิดเคลือบมีค่ามากกว่าค่าเฉลี่ยของขนาดแรงเสียดทานสติ๊กของกลุ่มตัวอย่างที่ใช้ลวดเหล็กกล้าไม่เป็นสนิมที่ผ่านการแข็งสารละลายชนิดเดียวกันอย่างมีนัยสำคัญทางสถิติ แต่ไม่พบความแตกต่างอย่างมีนัยสำคัญทางสถิติในกลุ่มควบคุม และกลุ่มตัวอย่างที่ผ่านการแข็งสารละลายจากน้ำยาบัวน้ำปากฟลูอิโอดี จากผลการศึกษาในครั้งนี้แสดงให้เห็นว่าการเคลือบเจลฟลูอิโอดีชนิดเคลือบทาให้ค่าแรงเสียดทานสติ๊กระหว่างแบบเบร์กเกตและลวดสูงขึ้น โดยเฉพาะเมื่อใช้ลวดเบตาไทเทเนียม

กิตติกรรมประกาศ

การศึกษาร่วมนี้ได้รับเงินอุดหนุนการวิจัยจากทุนอุดหนุนวิทยานิพนธ์สำหรับนิสิต ครั้งที่ 1 ประจำปีงบประมาณ 2551 คณะผู้วิจัยขอขอบพระคุณมา ณ โอกาสนี้

เอกสารอ้างอิง

1. Gorelick L, Geiger AM, Gwinnett AJ. Incidence of white spot formation after bonding and banding. Am J Orthod. 1982;81(2):93-8.
2. Ogaard B, Rolla G, Arends J, ten Cate JM. Orthodontic appliances and enamel demineralization. Part 2. Prevention and treatment of lesions. Am J Orthod Dentofacial Orthop. 1988;94(2):123-8.

3. Huang HH. Corrosion resistance of stressed NiTi and stainless steel orthodontic wires in acid artificial saliva. *J Biomed Mater Res A*. 2003; 66(4):829-39.
4. Huang HH. Variation in surface topography of different NiTi orthodontic archwires in various commercial fluoride-containing environments. *Dent Mater*. 2007;23(1):24-33.
5. Kao CT, Ding SJ, Wang CK, He H, Chou MY, Huang TH. Comparison of frictional resistance after immersion of metal brackets and orthodontic wires in a fluoride-containing prophylactic agent. *Am J Orthod Dentofacial Orthop*. 2006;130(5):568 e1-9.
6. Reclaru L, Meyer JM. Effects of fluorides on titanium and other dental alloys in dentistry. *Biomaterials*. 1998;19(1-3):85-92.
7. Schiff N, Boinet M, Morgan L, Lissac M, Dalard F, Grosgogeat B. Galvanic corrosion between orthodontic wires and brackets in fluoride mouthwashes. *Eur J Orthod*. 2006;28(3):298-304.
8. Schiff N, Dalard F, Lissac M, Morgan L, Grosgogeat B. Corrosion resistance of three orthodontic brackets: a comparative study of three fluoride mouthwashes. *Eur J Orthod*. 2005;27(6): 541-9.
9. Schiff N, Grosgogeat B, Lissac M, Dalard F. Influence of fluoridated mouthwashes on corrosion resistance of orthodontics wires. *Biomaterials*. 2004;25(19):4535-42.
10. Schiff N, Grosgogeat B, Lissac M, Dalard F. Influence of fluoride content and pH on the corrosion resistance of titanium and its alloys. *Biomaterials*. 2002;23(9):1995-2002.
11. Walker MP, Ries D, Kula K, Ellis M, Fricke B. Mechanical properties and surface characterization of beta titanium and stainless steel orthodontic wire following topical fluoride treatment. *Angle Orthod*. 2007;77(2):342-8.
12. Walker MP, White RJ, Kula KS. Effect of fluoride prophylactic agents on the mechanical properties of nickel-titanium-based orthodontic wires. *Am J Orthod Dentofacial Orthop*. 2005;127(6):662-9.
13. Watanabe I, Watanabe E. Surface changes induced by fluoride prophylactic agents on titanium-based orthodontic wires. *Am J Orthod Dentofacial Orthop*. 2003;123(6):653-6.
14. Dental Health Division [homepage on the Internet]. Bangkok: Dental Health Division; c2006 [updated 2008 Mar 8; cited 2008 Mar 12]. Available from: <http://dental.anamai.moph.go.th/care/brush.htm>
15. Dawes C. How much saliva is enough for avoidance of xerostomia? *Caries Res*. 2004;38(3): 236-40.
16. Dawes C. Factor influencing salivary flow rate and composition. In: Edgar WM, O'Mullane DM, editors. *Saliva and oral health*. London: British Dental Association, 1996:27-36.
17. Birkhed D, Heintze U. Salivary secretion rate, buffer capacity and pH. In: Tenovuo JO, editor. *Human saliva: clinical chemistry and microbiology*. Boca Raton, Fla: CRC Press, 1989:26-47.
18. Dental Health Division [homepage on the Internet]. Bangkok: Dental Health Division; c2006 [updated 2008 Mar 8; cited 2008 Mar 12]. Available from: <http://dental.anamai.moph.go.th/oralhealth/PR/media/comf/ind.html>
19. Yoshiki O, Sellers CB, Mirza K, Farrokh F. Corrosion of dental metallic materials by dental treatment agents. *Mat Sci Eng*. 2005;25(3):343-8.
20. Nakagawa M, Matsuya S, Shiraishi T, Ohta M. Effect of fluoride concentration and pH on corrosion behavior of titanium for dental use. *J Dent Res*. 1999;78(9):1568-72.
21. Angolkar PV, Kapila S, Duncanson MG Jr, Nanda RS. Evaluation of friction between ceramic brackets and orthodontic wires of four alloys. *Am J Orthod Dentofacial Orthop*. 1990;98(6):499-506.

22. Garner LD, Allai WW, Moore BK. A comparison of frictional forces during simulated canine retraction of a continuous edgewise arch wire. *Am J Orthod Dentofacial Orthop.* 1986;90(3):199-203.
23. Michelberger DJ, Eadie RL, Faulkner MG, Glover KE, Prasad NG, Major PW. The friction and wear patterns of orthodontic brackets and archwires in the dry state. *Am J Orthod Dentofacial Orthop.* 2000;118(6):662-74.
24. Tidy DC. Frictional forces in fixed appliances. *Am J Orthod Dentofacial Orthop.* 1989;96(3):249-54.
25. Kim JG, Kim YW. Cathodic protection criteria of thermally insulated pipeline buried in soil. *Corrosion Science.* 2001;43(11):2011-21

Effects of corrosion from fluoride-containing products on static friction between stainless steel brackets and different types of archwires

Pintu-on Chantarawaratit D.D.S.¹

Somsak Chengprapakorn D.D.S., M.D.Sc. (Orthodontics), Diplomate,
Thai Board of Orthodontics²

¹Graduate Student, Department of Orthodontics, Faculty of Dentistry, Chulalongkorn University

²Department of Orthodontics, Faculty of Dentistry, Chulalongkorn University

Abstract

Objective To investigate and compare the levels of static frictional forces between stainless steel brackets and two types of orthodontic wires after immersion in three types of solutions which contained fluoride products.

Materials and methods Canine standard stainless steel brackets (Dyna-lock, 3M Unitek) with stainless steel wires (Stainless Steel, Ormco) and beta-titanium wires (TMA, Ormco) were immersed in three types of the solutions which contained the artificial saliva and fluoride products: fluoride toothpaste, fluoride mouthwash and fluoride gel (APF) at 37°C. In this study, each group included 25 bracket-wire specimens. The static frictional forces were measured by using a Lloyd Universal Testing Machine, Model LR 10 K (Lloyd Instruments, UK) with a 5-N load cell. The wires were ligated by elastomeric rings to the brackets which were attached to the crosshead of the machine. The brackets were pulled up at a speed of 0.1 mm per minute for a distance of 0.5 mm. The control tests were performed using specimens that had not been dipped in any solution. Two-way ANOVA ($\alpha = 0.05$) was used to test for significant differences among the groups of specimens.

Results When comparing the control groups, only the mean static frictional forces of the APF-immersed groups in both stainless steel wire group and beta-titanium wire group were significantly greater than those of their control groups at $p = .013$ and $p = .000$, respectively. When comparing the mean static frictional forces of stainless steel groups to those of beta-titanium groups which were immersed in the same solution, the mean static frictional forces of stainless steel groups were lower than those of beta-titanium groups in which the specimens were dipped in the toothpaste solution and the APF solution at $p = .003$ and $p = .004$, respectively. There was no significant difference between the mean static frictional forces of stainless steel group and beta-titanium group in the control group and the mouthwash solution-immersed group.

Conclusion Immersion of stainless steel brackets, stainless steel wires and beta-titanium wires in the APF solution can increase the static frictional forces between brackets and archwires.

(CU Dent J. 2008;31:179-92)

Key words: *beta-titanium wire; corrosion; fluoride; stainless steel bracket; stainless steel wire; static friction*
